

آنالیز سازه‌یی منارهای تاریخی آجری ایرانی

مهرداد حجازی* (دانشیار)

سید محمد مویدیان (دانشجوی کارشناسی ارشد)

هریم داعی (استادیار)

گروه عمران، دانشکده‌ی فنی و مهندسی، دانشگاه اصفهان

رفتار سازه‌یی ۹ منار آجری تاریخی اصفهان مربوط به قرون پنجم و ششم هجری قمری در برابر بارهای ثقلی، زلزله، تغییرات درجه حرارت و باد با استفاده از روش المان محدود غیرخطی، در ۲ حالت منار به صورت کامل (شامل پوسته‌ی منار، ستون مرکزی و راه پله) و فقط پوسته‌ی خارجی مورد مطالعه قرار گرفته است. برای آنالیز دینامیکی تاریخچه‌ی زمانی غیرخطی از ۷ شبکه نگاشت مناسب و مقایس شده براساس ضوابط استاندارد ۲۸۰۰ استفاده شده است. به دلیل شکست منارها در هنگام وقوع زلزله، جهت تعیین وضعیتی که شکست رخ نمی‌دهد، بررسی پارامتری تأثیر ارتفاع، مقاومت مصالح، معیار شکست، و اندازه‌ی میلی‌ی انجام شده است. آنالیز حرارتی نشان می‌دهد که منارها در شرایطی که اختلاف دمای داخل و خارج آنها از مقنار مشخصی بیشتر شود، دچار شکست می‌شوند. منارها می‌توانند حدود ۱/۴ برابر باد مبنای اصفهان را بدون شکست تحمل کنند.

m.hejazi@eng.ui.ac.ir
smoayedian@yahoo.com
m.daei@eng.ui.ac.ir

واژگان کلیدی: منار، مصالح بنایی آجری، آنالیز تاریخچه‌ی زمانی، رفتار غیرخطی.

۱. مقدمه

معماری در همه‌ی دوران‌ها از تأثیرگذارترین هنرها ایران بوده است. یکی از این عناصر که در هر دو دوره‌ی پیش و پس از اسلام نقشی چشم‌گیر و حضوری کم‌نظیر به عهده داشته است، میل‌یا منار است. اوج هنر منارسازی در ایران به قرون پنجم و ششم هجری قمری باز می‌گردد، که هم‌زمان با انتخاب اصفهان به پایتختی در آن زمان، منجر به آبادانی این شهر و ساخت منارهای متعددی شده است، به گونه‌یی که اصفهان به شهر مبارکها شهرت یافته.^[۱] از مهم‌ترین این منارها می‌توان به منارهای برسیان، چهل دختران، گار، سین، علی، ساربان، زیار، رهروان و باغ قوشخانه اشاره کرد. این ۹ منار از مصالح بنایی آجری ساخته شده و در این پژوهش مورد مطالعه قرار گرفته‌اند. به طور کلی ۱ منار از ۳ قسمت پایه، بدنه و کلاهک با تاج تشکیل شده است (شکل ۱). سازه‌ی منار شامل ستون مرکزی، پلکان مارپیچ و پوسته‌ی بیرونی است.

۲. روش آنالیز و نرم‌افزار مورد استفاده

جهت آنالیز منارهای تاریخی از روش المان محدود غیرخطی و نرم افزار ANSYS^[۲] و المان solid65 استفاده شده است. به منظور بررسی تأثیر ستون مرکزی و راه‌پله‌ی مارپیچ درون منارها در رفتار سازه‌یی آنها، آنالیزها در دو حالت: ۱. منار به صورت کامل (شامل پوسته‌ی منار، ستون مرکزی و راه پله)، ۲. فقط پوسته‌ی خارجی انجام شده‌اند.

۳. خصوصیات مکانیکی مصالح

خصوصیات مکانیکی مصالح مورد استفاده، که در پژوهش‌های پیشین به دست آمده‌اند،^[۳] در جدول ۱ نشان داده شده است. با استفاده از نتایج تجربی حاصل شده در مطالعات پیشین،^[۴] می‌توان رابطه‌ی تنش - کرنش را برای ترکیب آجر و ملات به صورت یک نمودار خطی - سه‌می‌براساس روابط ۱ و ۲ بیان کرد.

$$\sigma = E \varepsilon_e, \quad \varepsilon \leq \varepsilon_e \quad (1)$$

$$\sigma = (f_k/4)[7(\varepsilon/\varepsilon_e) - 2(\varepsilon/\varepsilon_e)^2 - 2] \quad (2)$$

$$\varepsilon_e \leq \varepsilon \leq 2\varepsilon_e$$

$$\varepsilon_e = 0,75 f_k/E \quad (3)$$

۲. مشخصات منارهای مورد مطالعه و فرضیات آنالیز

۱.۱. مشخصات ابعادی منارهای مورد مطالعه

در شکل ۲، نمای برخی از منارها (واقع در اصفهان) و در شکل ۳، ابعاد منارهای مورد مطالعه نشان داده شده است. ارتفاع از حدود ۵۰-۲۰ متر تغییر می‌کند. قطر خارجی در پایه حدود ۶-۲/۵ متر، و در بالا حدود ۲-۵ متر است. ضخامت پوسته‌ی

* نویسنده مسئول

تاریخ: دریافت ۲۴/۴/۱۳۹۲، اصلاحیه ۲۳/۱۰/۱۰، پذیرش ۷/۱۲/۱۳۹۲.

جدول ۱. خصوصیات مکانیکی مصالح تشکیل دهنده مnarها.^[۴]

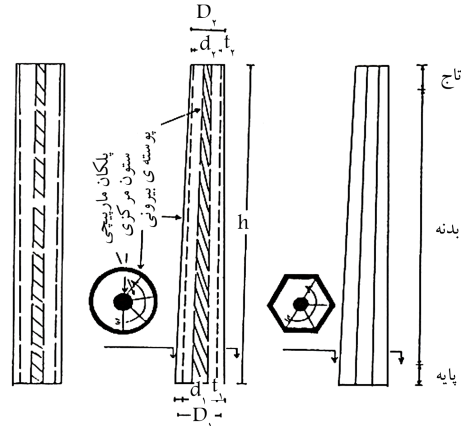
نام مصالح	خصوصیات مکانیکی	آجر	ملات	ترکیب آجر و ملات
جرم حجمی (kg/m ³)		۱۳۳۰	۱۶۰۰	۱۵۳°
مدول کشسانی (MPa)		۵۳۰۰	۱۳۰۰	۲۷۳°
ضریب پواسون		۰,۱۷	۰,۱۷	۰,۱۷
مقاومت کششی (MPa)		۰,۵۳	۰,۲۵	۰,۲۷
مقاومت فشاری (MPa)		۵,۳	۱	۲,۷۳
ضریب انبساط حرارتی (m/m/°C)		۰,۶ × ۱۰ ^{-۵}	۰,۶ × ۱۰ ^{-۵}	۰,۶ × ۱۰ ^{-۵}

$$TFC = ۰,۶, \quad f_1 \neq ۱ \quad (۹)$$

$$\beta_t = ۰,۱۵ \quad (۱۰)$$

$$\beta_C = ۰,۷۵ \quad (۱۱)$$

که در آن ها، f_k ، f_c ، f_t ، f_{cb} ، f_e و $|\sigma_h^a|$ به ترتیب مقاومت کششی تک محوری، مقاومت فشاری تک محوری، مقاومت فشاری دو محوری، مقاومت فشاری برای حالتی از فشار دو محوری که بر روی تنش هیدرواستاتیک قرار داده می شود، مقاومت فشاری برای حالتی از فشار تک محوری که بر روی تنش هیدرواستاتیک قرار داده می شود و تنش هیدرواستاتیک هستند.


 شکل ۱. اجزاء سازه‌یی مnar.^[۱]

در برخی از آنالیزها جهت کنترل نتایج از معیار شکست دراکر - پراگر^[۴] نیز استفاده شده است، که در آن، شکست رفتار مصالح کشسان - خمیری و بدون سخت‌شوندگی در نظر گرفته می شود. براین اساس زاویه‌ی اصطکاک داخلی مصالح در روابط ۱ و ۲، رابطه‌ی تنش - کرنش به صورت روابط ۳ و ۴ در می‌آیند (شکل ۴).

$$\varepsilon_e = ۰,۷۵ f_k / E = ۰,۷۵ \times ۲,۷۳ / ۲۳۷۰ = ۷,۵ \times ۱۰^{-۴} \quad (۳)$$

$$\sigma = (f_k / ۴)[۷(\varepsilon / \varepsilon_e) - ۲(\varepsilon / \varepsilon_e)^2 - ۲]$$

$$\sigma = (۲,۷۲ / ۴)[۷(\varepsilon / ۷,۵ \times ۱۰^{-۴}) - ۲(\varepsilon / ۷,۵ \times ۱۰^{-۴})^2 - ۲]$$

$$۷,۵ \times ۱۰^{-۴} \leq \varepsilon \leq ۱۵ \times ۱۰^{-۴} \quad (۴)$$

۶. روش کنترل شکست مnarها

برای پیش‌بینی شکست مnarها در اثر بارگذاری‌های مختلف، معیار شکست ویلام - وارنک و در مواردی عیار شکست دراکر - پراگر مورد استفاده قرار می‌گیرد. در صورتی که معیار شکست براورده نشود، این بدین معنی خواهد بود که ترکیب تنش‌های ایجاد شده باعث شکست مnar خواهد شد.

۷. بارگذاری

بارهای اعمال شده به ۹ مnar مورد مطالعه شامل: وزن، زلزله، تغییرات درجه حرارت و باد هستند.

۸. آنالیز استاتیکی تحت بار وزن

همان‌گونه که پیش‌بینی می‌شود، تنش‌های ایجاد شده تحت بار وزن کمتر از مقاومت مصالح هستند. توزیع تنش محوری در پوسته‌ی خارجی و بلکان مارپیچ مnar برسیان در شکل ۵ نشان داده شده است.

۴.۲. معیار شکست ویلام - وارنک

در همه‌ی آنالیزها از معیار شکست ویلام - وارنک^[۴] که مخصوص مصالح ترد و شکننده است، استفاده شده است. پارامترهای این معیار شکست برای ترکیب مصالح آجر و ملات جهت استفاده در نرم‌افزار ANSYS براساس روابط ۵ الی ۱۱ محاسبه^[۸] و در جدول ۲ نشان داده شده‌اند:

$$f_{cb} = ۱,۲ f_c = ۱,۲ \times ۲,۷۳ = ۳,۲۷۶ \text{ MPa} \quad (۵)$$

$$f_1 = ۱,۴۵ f_c = ۱,۴۵ \times ۲,۷۳ = ۳,۹۶ \text{ MPa} \quad (۶)$$

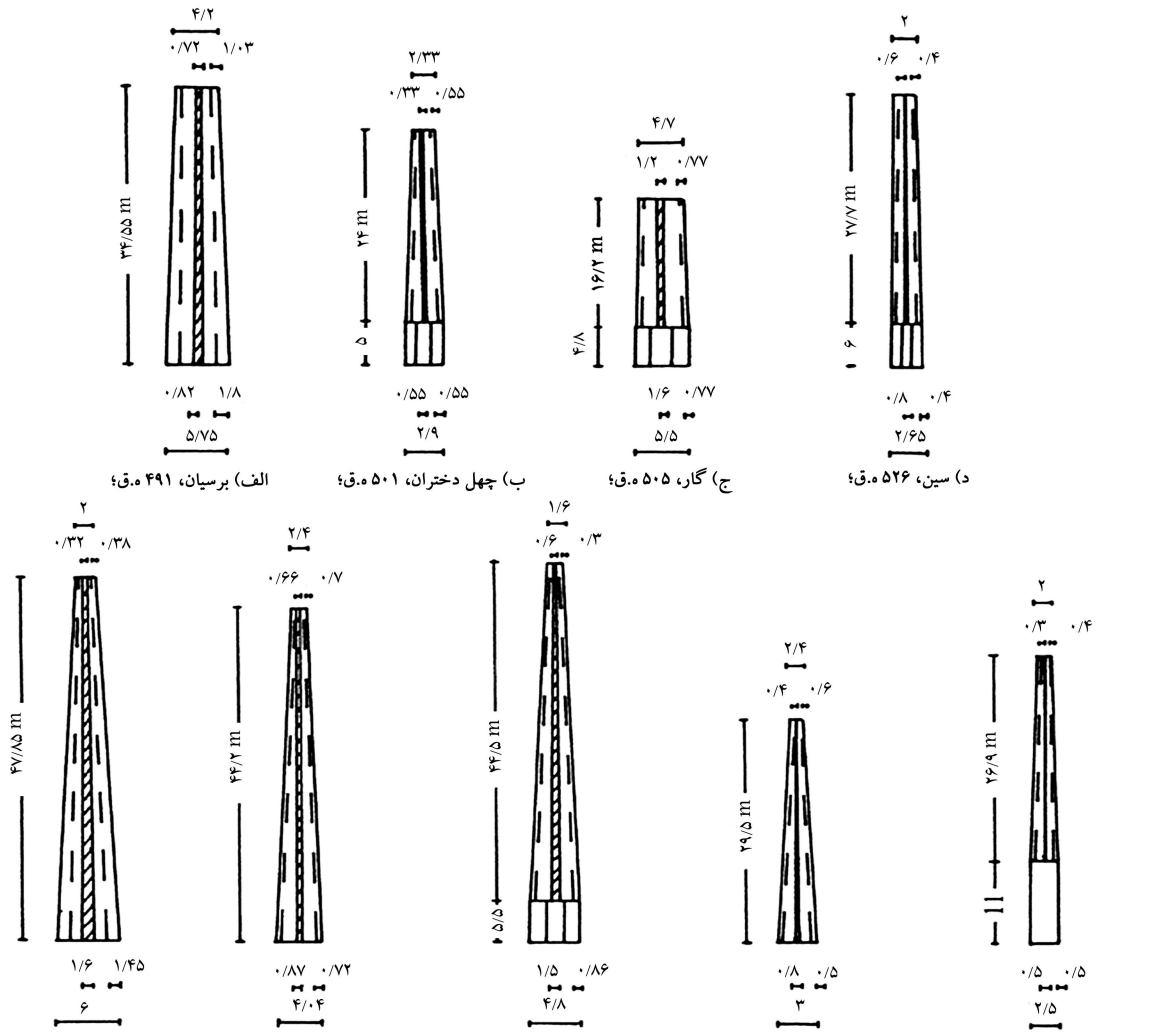
$$f_2 = ۱,۷۲۵ f_c = ۱,۷۲۵ \times ۲,۷۳ = ۴,۷۱ \text{ MPa} \quad (۷)$$

$$|\sigma_h^a| \leq ۳^{۱/۲} \quad f_c = ۴,۷۳ \text{ MPa} \quad (۸)$$

$$\text{ضریب افزایش سختی ترک در کشش} = TFC = ۰,۶, \quad f_1 = ۱.$$



شکل ۲. نمای برخی از منارهای مورد مطالعه.



شکل ۳. مشخصات ابعادی منارهای مورد مطالعه.

جدول ۲. پارامترهای معیار شکست و پلام - وارنک برای ترکیب مصالح آجر و ملات جهت استفاده در نرم افزار ANSYS.

β_t	β_C	f_t (MPa)	f_c (MPa)	f_{cb} (MPa)	$ \sigma_h^a $ (MPa)	f_c (MPa)	f_2 (MPa)	TFC
۰,۱۵	۰,۷۵	۰,۲۷	۲,۷۳	۳,۲۷۶	۴,۷۳	۳,۹۶	۴,۷۱	۰,۶

جدول ۳. نتایج مربوط به بسامدهای ناشی از ۶ مود اول منارهای مورد مطالعه.

نمایش آنالیز مودال منارها	بررسیان	چهل دختران	گار	سین	علی	زیار	رهروان	باغ قوشخانه	ساربان
مود ۱	بسامد (Hz)	۱,۰۹	۰,۷۹	۲,۳۴	۰,۵۵	۰,۵۸	۰,۷۳	۰,۴۲	۰,۴۸
مود ۲	بسامد (Hz)	۱,۰۹	۰,۷۹	۲,۶۵	۰,۵۵	۰,۵۸	۰,۷۳	۰,۴۲	۰,۴۸
مود ۳	بسامد (Hz)	۰,۱۶	۴,۱۴	۵,۳۷	۲,۶۴	۲,۰۰	۳,۹۶	۲,۲۳	۲,۲۵
مود ۴	بسامد (Hz)	۰,۱۶	۴,۱۴	۱۱,۹۰	۲,۸۱	۲,۶۴	۲,۰۰	۳,۹۶	۲,۲۵
مود ۵	بسامد (Hz)	۰,۰۸	۹,۰۹	۱۱,۸۷	۵,۹۰	۴,۵۳	۸,۵۶	۵,۸۱	۵,۵۰
مود ۶	بسامد (Hz)	۱۱,۰۷	۱۰,۴۷	۱۵,۵۱	۵,۹۰	۴,۵۳	۱۰,۰۳	۵,۸۱	۵,۴۵

۴. آنالیز مودال و بسامدهای منارهای مورد مطالعه

آنالیز مودال در واقع فلزی است که با کمک آن خواص دینامیکی یک سازه نظری بسامدهای تحریک، مقادیر میلیمی و اشکال تغییرشکل یافته‌ی سازه، که به آن شکل‌های مودی گفته می‌شود، استخراج می‌شود. نتایج مربوط به بسامدهای ناشی از ۶ مود اول هر یک از منارها در جدول ۳ و تغییرشکل منارها در مود اول در شکل ۶ ارائه شده است.

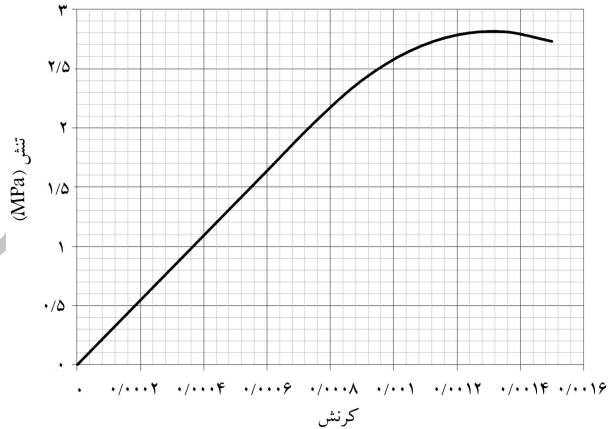
۵. آنالیز دینامیکی گذرا تحت بار زلزله

۱. پارامترهای انتخاب شتاب نگاشت

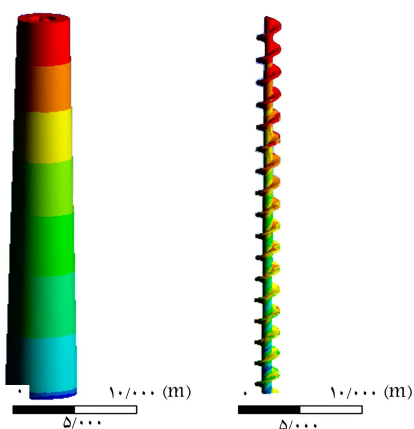
با توجه به مبنی قراردادن استاندارد ۲۸۵۰^[۱]، جهت انجام آنالیز تاریخچه‌ی زمانی، باید شتاب‌نگاشت تا حد امکان نمایانگر حرکت واقعی زمین در محل احداث بنا در هنگام زلزله باشد. بدین منظور باید دست کم ۳ و یا ۷ زوج شتاب‌نگاشت با ویژگی‌های عنوان شده در استاندارد ۲۸۵۰ در آنالیز مورد استفاده قرار گیرد.

منارهای مورد مطالعه در محدوده‌ی استان اصفهان واقع شده‌اند. بیشینه‌ی شتاب زمین با احتمال رویداد ۱۰٪ در ۵۰ سال در شهر اصفهان از $g = ۰,۱۸$ تا $g = ۰,۳۲$ متغیر است، که این مقدار در استاندارد ۲۸۵۰ ایران برابر $g = ۰,۲۵$ تعیین شده است. همچنین زمین منطقه‌ی مورد مطالعه طبق استاندارد ۲۸۵۰ از نوع ۲ و ۳ است، که در جهت اطمینان نوع ۳ در نظر گرفته شده است.^[۱۰]

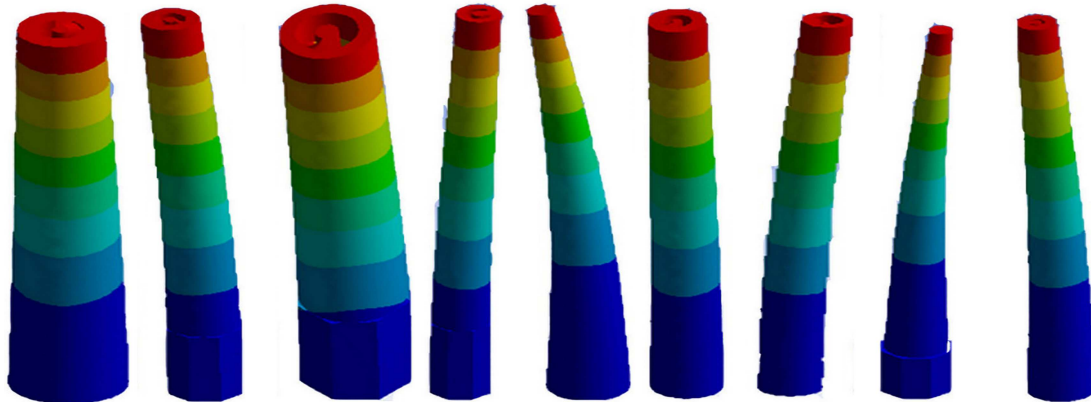
با توجه به اینکه اطلاعات شتاب‌نگاشت‌های مربوط به زلزله‌های رخداده در منطقه‌ی مورد مطالعه در دسترس نیست، زلزله‌های واقعی اتفاق افتاده در مناطق دیگر که با شرایط تکتونیکی و لرزه‌ی اصفهان مطابقت دارند، مورد استفاده قرار گرفته و براساس ضوابط استاندارد ۲۸۵۰ مقایس شده‌اند. بدین منظور از اطلاعات لرزه‌یی جمع‌آوری شده توسط دانشگاه برکلی استفاده شده است.^[۱۱] اطلاعات مذکور



شکل ۴. نمودار تنش - کرنش ترکیب آجر و ملات منارها.

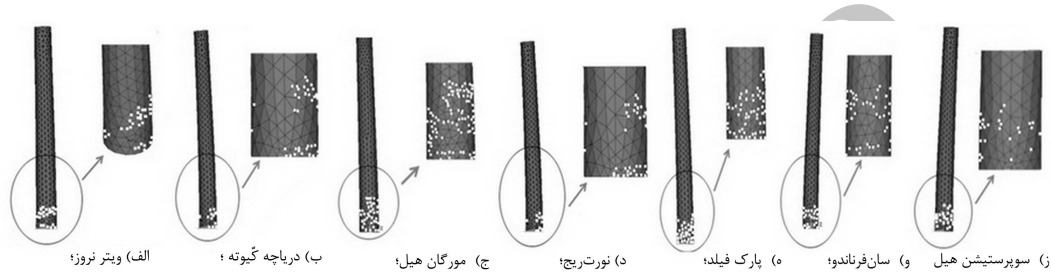


شکل ۵. توزیع تنش در منار بررسیان تحت بار وزن.

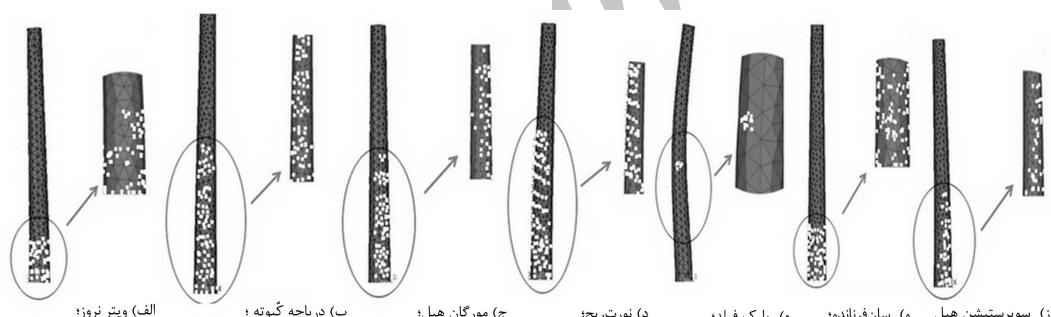


ط) برج باغ قوشخانه. ح) برج رهروان؛ ز) برج زیار؛ و) برج ساربان؛ ه) برج علی؛ د) برج سین؛ ج) برج ساربان؛ (ب) برج چهل دختران؛ (الف) برج برسیان؛ (ط) برج قوشخانه. ط) برج رهروان. ح) برج زیار؛ و) برج ساربان؛ ه) برج علی؛ د) برج سین؛ ج) برج ساربان؛ (ب) برج چهل دختران؛ (الف) برج برسیان؛ (ط) برج قوشخانه.

شکل ۶. تغییرنگارهای برجها در مود اول (به صورت کامل).



شکل ۷. ترک‌های ایجاد شده در برج رهروان (به صورت کامل) در مرحله‌ی شکست تحت زلزله.



شکل ۸. ترک‌های ایجاد شده در برج رهروان (فقط پوسته) در مرحله‌ی شکست تحت زلزله.

جدول ۴. مشخصات زلزله‌های انتخاب شده.

شماره	نام زلزله	تاریخ	بزرگای بیشینه‌ی شتاب (M)	وزن زمین (g)
۱	دریاچه‌ی گیوته	۱۹۷۹/۶/۸	۵/۷	۰/۲۴۸
۲	مورگان هیل	۱۹۸۴/۴/۲۴	۶/۲	۰/۲۱۲
۳	نورث ریج	۱۹۹۴/۱/۱۷	۶/۷	۰/۲۴۵
۴	پارک فیلد	۱۹۶۶/۶/۲۸	۶/۱	۰/۲۴۶
۵	سان فرناندو	۱۹۷۱/۹/۲	۶/۶	۰/۲۱
۶	سوپرستیشن هیل	۱۹۸۷/۱۱/۲۴	۶/۷	۰/۲۴۷
۷	ویتر نرزو	۱۹۸۷/۱/۱۰	۶	۰/۲۴۳

مربوط به ۷ زلزله با بزرگای ۷-۵/۷-۶/۷-۵ m/s ریشتراو تا ساعع km ۱۰۰، و سرعت برخی خاک بین ۳۶۰-۱۸۰ m/s است. بیشینه‌ی شتاب زمین در شتاب‌نگاشته‌ای انتخاب شده بین ۰-۳۲-۰/۱۸ g است. مشخصات این ۷ زلزله در جدول ۴ آرایه شده است.

۲.۵. نتایج آنالیز تاریخچه‌ی زمانی غیرخطی
به عنوان مثال، نتایج مربوط به برج رهروان تحت اثر ۷ زلزله در شکل‌های ۷ و ۸ و جدول‌های ۵ و ۶ و نتایج مربوط به سایر برج‌ها تحت زلزله‌ی ویتر نرزو در جدول ۷ نشان داده‌اند. نتایج حاصل از آنالیز تاریخچه‌ی زمانی غیرخطی دلالت بر این دارند که همه‌ی برج‌ها، هم به صورت کامل و هم فقط پوسته، در مراحل ابتدایی دچار شکست شده‌اند. تجمع ترک‌های ایجاد شده در قسمت اتصال راهپله به ستون مرکزی و پوسته‌ی خارجی است که در این محل تنش‌های کششی و فشاری به بیشترین

جدول ۵. نتایج آنالیز تاریخچه‌ی زمانی غیرخطی منار رهروان (فقط پوسته) تحت ۷ زلزله‌ی مورد مطالعه.

		نتایج آنالیز تاریخچه‌ی زمانی غیرخطی در مرحله‌ی شکست					
دریاچه‌ی کُیوتہ	مورگان هیل	نورث‌ریج	پارک فیلد	سان‌فرناندو	سوپرستیشن هیل	ویتر نوز	
زمان (s)	۱/۷۷	۶/۰۸	۱/۸۵	۱/۴۳	۱/۳۲	۱/۰۶	
تعییرمکان بیشینه (m)	۰/۰۳۶۱	۰/۰۵۹	۰/۰۱۸۵۸	۰/۰۵۳۶	۰/۰۴۸۸۰	۰/۰۶۵۹	

جدول ۶. نتایج آنالیز تاریخچه‌ی زمانی غیرخطی منار رهروان (به صورت کامل) تحت ۷ زلزله‌ی مورد مطالعه.

		نتایج آنالیز تاریخچه‌ی زمانی غیرخطی در مرحله‌ی شکست					
دریاچه‌ی کُیوتہ	مورگان هیل	نورث‌ریج	پارک فیلد	سان‌فرناندو	سوپرستیشن هیل	ویتر نوز	
زمان (s)	۰/۰۵۵	۰/۰۷۶	۰/۰۶۳	۰/۰۲۸	۱/۹۷	۱/۰۶	
تعییرمکان بیشینه (m)	۰/۰۴۸۷	۰/۰۱۰۳۰	۰/۰۷۴۵	۰/۰۶۹۱	۰/۰۶۰۷	۰/۰۵۹	

جدول ۷. نتایج آنالیز تاریخچه‌ی زمانی غیرخطی منارها (به صورت کامل) تحت زلزله‌ی ویتر نوز در مرحله‌ی شکست.

		نتایج آنالیز تاریخچه‌ی زمانی غیرخطی منار					
زیار	علی	باخ قوشانه	برسیان	چهل‌دختران	گار	ساربان	سین
زمان (s)	۳/۹۶	۰/۷۶	۰/۸	۱/۱	۲/۵	۰/۷۶	۱/۱
تعییرمکان بیشینه (m)	۰/۳۲۲۳	۰/۲۹۵۴	۰/۰۹۱۱	۰/۰۷۴۱	۰/۰۴۷۱۷	۰/۰۱۰۸۴	۰/۱۳۵۹

۴.۵. بررسی تأثیر تعییر خصوصیات مکانیکی مصالح در آنالیز تاریخچه‌ی زمانی

به منظور یافتن وضعیتی که منار در مقابل زلزله دچار شکست نشود، مقاومت‌های فشاری و کششی مصالح به ترتیب ۱۰ ، ۵۰ و ۱۰۰ برابر افزایش داده شده‌اند. این کار فقط به منظور بررسی پارامتری بوده است و در عمل امکان بذیر نیست. نتایج برای منارهای رهروان و زیار در جدول ۹ ارائه شده‌اند. حتی با افزایش ۵۰ برابر مقاومت مصالح، هنوز منارها دچار شکست می‌شوند. هنگامی که مقاومت‌های فشاری و کششی مصالح ۱۰۰ برابر می‌شوند، شکستی در منارها به موقع نمی‌پوندد. این بدین معنی است که افزایش خصوصیات مکانیکی مصالح در محدوده‌ی ۰ تا ۱۰۰ میلی‌متری است، تأثیر تعیین‌کننده‌ی در بالا بدن مقاومت کل سازه‌ی منار در مقابل زلزله ندارد.

۵. بررسی تأثیر تعییر معیار شکست در آنالیز تاریخچه‌ی زمانی با استفاده از معیار شکست دراکر- پراگر به جای معیار شکست ویلام- وارنک در آنالیزهای تعدادی از منارها، تأثیر تعییر معیار شکست در رفتار لرزه‌ی بررسی شده است. نتایج حاصل برای منارهای رهروان، زیار و گار تحت زلزله‌ی ویتر نوز در جدول ۱۰ ارائه شده‌اند. علی‌رغم تعییر معیار شکست، منارها هنوز در همان مراحل ابتدایی اعمال زلزله دچار شکست شده‌اند و در رفتار سازه‌ی آنها بهبودی مشاهده نشده است.

۶. بررسی تأثیر تعییر میرایی در آنالیز تاریخچه‌ی زمانی پژوهش‌های پیشین نشان داده است که در مواردی تعییر اندازه‌ی میرایی در رفتار لرزه‌ی تأثیر قابل توجهی داشته است.^[۱۷] بدین منظور فرض شده است که اندازه‌ی میرایی منارها از ۵% به ۲۰% افزایش یابد. نتایج به دست آمده حاکی از آن است که منارهای مورد مطالعه مجدداً در همان مراحل اولیه اعمال زلزله دچار شکست

جدول ۸. نتایج آنالیز تاریخچه‌ی زمانی غیرخطی منار رهروان (فقط پوسته) با فرض ارتفاع‌های ۱۵ ، ۱۰ و ۷ متر (به صورت حذف قسمت بالایی منار) تحت زلزله ویتر نوز.

		نتایج آنالیز تاریخچه‌ی زمانی غیرخطی					
پایین منار	پایین منار	۱۵ متر	۱۰ متر	۷ متر	وضعیت آسیب‌دیدگی	شکست	بدون شکست
زمان (s)	۳/۹۴	۳/۰۴	۲/۸۶	۰/۰۴۸۱	۰/۰۳۳۱	۰/۰۰۰۲	
تعییرمکان بیشینه (m)							

مقدار خود در منار می‌رسد.

به منظور یافتن وضعیتی که منارها در اثر زلزله دچار شکست نشوند، در ۴ بخش مختلف به بررسی تأثیر پارامترهای مختلف پرداخته شده است. این پارامترها شامل: ارتفاع منارها، مقاومت کششی و فشاری مصالح تشکیل‌دهنده‌ی منارها، معیار شکست و میزان میرایی هستند.

۳.۵. بررسی تأثیر ارتفاع در آنالیز تاریخچه‌ی زمانی

یکی از عوامل مؤثر در زمان شکست منارها در آنالیز لرزه‌ی، نسبت ارتفاع به قاعده است. بدین منظور با ثابت درنظرگرفتن قطر منار، ارتفاع آن از بالا به ترتیب کم (با) حذف قسمت بالایی منار و آنالیز انجام شده است. این کار فقط برای بررسی تأثیر تعییر ارتفاع در قاعده‌ی ثابت صورت گرفته است و در عمل نمی‌توان از این روش برای بهبود رفتار سازه‌ی منار در مقابل زلزله استفاده کرد. نتایج مربوط به منار رهروان در جدول ۸ ارائه شده است. می‌توان نتیجه گرفت که با کاهش ارتفاع منار زمان شکست به تأخیر می‌افتد، به طوری که با ارتفاع مشخصی، منار دچار شکست نمی‌شود.

جدول ۹. نتایج آنالیز تاریخچه‌ی زمانی غیرخطی منارهای رهروان و زیار با افزایش مقاومت‌های کششی و فشاری تحت زلزله‌ی ویتر نرور.

نتایج آنالیز تاریخچه‌ی زمانی غیرخطی					
منار رهروان			منار زیار		
۱۰۰ برابر	۵۰ برابر	۱۰ برابر	۱۰۰ برابر	۵۰ برابر	۱۰۰ برابر
بدون شکست	شکست	بدون شکست	شکست	بدون شکست	شکست
۲۸,۶	۳,۹	۳,۰۲	۲۸,۶	۳,۴۶	۳,۰۲
۰,۰۰۰۳	۰,۳۸۱۶	۰,۴۷۶۵	۰,۰۰۳۴	۰,۱۲۳۴	۰,۰۰۳۴
تعییرمکان بیشینه (m)			تعییرمکان بیشینه (m)		

جدول ۱۰. نتایج آنالیز تاریخچه‌ی زمانی غیرخطی منارهای رهروان، گار و زیار با استفاده از معیار شکست دراکر - پراگر و تحت زلزله‌ی ویتر نرور.

نتایج آنالیز تاریخچه‌ی زمانی غیرخطی					
توسط معیار شکست دراکر - پراگر			زمان (s)		
(کامل)	(کامل)	(پوسته)	(کامل)	(کامل)	(پوسته)
۳,۹۶	۱,۱	۰,۸	۱,۱	۰,۶۲	۰,۱
۰,۰۱۵۵	۰,۱۶۲۱	۰,۱۳۴۵	۰,۰۸۰۱	۰,۰۰۶۰	۰,۰۰۶۰
تعییرمکان بیشینه (m)			تعییرمکان بیشینه (m)		

۱. دمای داخل منار 21°C و دمای بیرون $41,4^{\circ}\text{C}$:
۲. دمای داخل منار 0°C و دمای بیرون $13,5^{\circ}\text{C}$ - (بررسی اثر سرما)؛
۳. دمای داخل منار 21°C و دمای بیرون 100°C (آتش سوزی)؛
۴. دمای داخل منار 21°C و دمای بیرون $13,5^{\circ}\text{C}$ - (بررسی اثر سرما)؛
۵. گرم شدن یکنواخت کل منار تا 100°C (آتش سوزی).

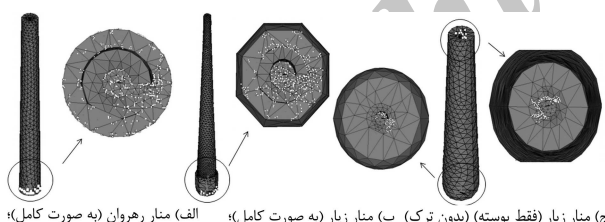
شده و فقط میزان جابجایی نهایی آن‌ها در حالت میرایی 20% در لحظه‌ی شکست کمتر از میزان جابجایی در حالت میرایی 5% است.

۷.۵. بررسی کارآیی آیین نامه‌های لرزه‌ی ساختمان‌های مدرن برای بناهای تاریخی

با توجه به آنالیزهای تاریخچه‌ی زمانی صورت‌گرفته می‌توان نتیجه‌گیری کرد که ضوابط آیین نامه‌ها، ضوابط طراحی ساختمان‌های مدرن و آیین نامه‌های بهسازی لرزه‌ی سازه‌های موجود، جهت بررسی سازه‌هایی با قدامت تاریخی، بسیار سخت‌گیرانه است و به مقاوم سازی نامناسبی می‌انجامد. دلیل این امر را می‌توان این‌گونه بیان کرد که علی‌رغم افزایش 50% برابر مقاومت فشاری و کششی مصالح و یا کاهش 50% ارتفاع منارهای سازه‌ها همچنان جواب‌گوی ضوابط آیین نامه‌ها نیستند، در صورتی که قدامت ساخت این آثار متتجاوز از 900 سال است و در طی این سال‌ها همچنان پا بر جا هستند. این نتایج مشابه نتایج گزارش شده از سایر پژوهشگران در بررسی لرزه‌ی بناهای تاریخی است.^[۱۳,۱۴] این تذکر لازم است که حتی آیین نامه‌های معتبر نظریء FEMA^[۱۵]، Eurocode 8^[۱۶] در مورد ارزیابی لرزه‌ی و مقاوم سازی بناهای تاریخی مورد خاصی را مطرح نکرده‌اند. این آیین نامه‌ها فقط براساس پارامترهای کمی بنا شده‌اند، در حالی که باید پارامترهای مهم کیفی نیز مورد توجه قرار گیرند. محدودیت‌ها و ضعف‌های آیین نامه‌ها و ضوابط قراردادی می‌توانند توسط پذیرش فعالیت‌های مکمل از قبیل بررسی تاریخی، بازدید و نظارت‌های فنی و آنالیز کیفی سازه‌ی بطریف شود.

۶. نتایج آنالیز حرارتی منارها

به عنوان نمونه، ترک‌های ایجاد شده تحت حالات ۱ و ۲ در شکل‌های ۹ و ۱۰ نشان داده شده است. نتایج آنالیزهای انجام شده در جدول‌های ۱۱ تا ۱۵ ارائه شده است. بر این اساس، اختلاف دمای زیاد داخل و خارج منار سبب آسیب جدی به منارها می‌شود و همچنین اختلاف دما در حالت سرمایی آسیب‌های بیشتری در منار نسبت به حالت گرمایی ایجاد می‌کند.

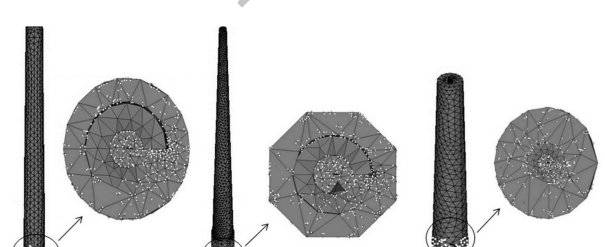


شکل ۹. ترک‌های ایجاد شده تحت آنالیز حرارتی در حالت ۱: دمای داخل 21°C و دمای بیرون $41,4^{\circ}\text{C}$.

۶. آنالیز تحت بار حرارتی

۶.۱. فرضیات آنالیز حرارتی

برای بررسی آسیب‌های احتمالی در اثر تغییر درجه حرارت منارهای مورد مطالعه در فصول مختلف با توجه به تغییرات دمایی شهر اصفهان و نیز تحت شرایط خاصی از قبیل آتش سوزی و بی‌زدگی، آنالیز حرارتی غیرخطی برای ۵ حالت مختلف انجام شده است. براساس مطالعات انجام شده برای شهر اصفهان، بیشینه‌ی مطلق دما در مردادماه برابر $41,4^{\circ}\text{C}$ و کمینه‌ی مطلق دما در آذرماه برابر با $13,5^{\circ}\text{C}$ است.^[۱۶] همچنین در چند حالت، دمای داخل منار برابر دمای آسایش 21°C در نظر گرفته شده است.^[۱۷] آنالیز حرارتی در این حالات انجام شده است:



شکل ۱۰. ترک‌های ایجاد شده تحت آنالیز حرارتی در حالت ۲: دمای داخل 21°C و دمای بیرون $13,5^{\circ}\text{C}$.

جدول ۱۱. نتایج آنالیز حرارتی منارهای رهروان، زیارتی، بررسیان در حالت ۱.

نتایج آنالیز حرارتی منار	رهروان (کامل)	زیارتی (کامل)	زیارتی (پوسته)	بررسیان
وضعیت آسیب دیدگی	بدون شکست	بدون شکست	بدون شکست	بدون شکست
تغییر مکان بیشینه (m)	۰,۰۰۰۷	۰,۰۰۰۹	۰,۰۰۱۴	۰,۰۰۳۷

جدول ۱۲. نتایج آنالیز حرارتی منارهای رهروان و زیارتی در حالت ۲.

جدول ۱۲. نتایج آنالیز حرارتی منارهای رهروان و زیارتی در حالت ۲.

نتایج آنالیز حرارتی منار	رهروان (کامل)
وضعیت آسیب دیدگی	بدون شکست
تغییر مکان بیشینه (m)	۰,۰۵۳

نتایج آنالیز حرارتی منار	رهروان (کامل)	زیارتی (کامل)	بررسیان (کامل)
وضعیت آسیب دیدگی	بدون شکست	بدون شکست	بدون شکست
تغییر مکان بیشینه (m)	۰,۰۸۷	۰,۰۱۷	۰,۰۸۰

جدول ۱۳. نتایج آنالیز حرارتی منارهای رهروان، زیارتی، بررسیان در حالت ۳.

نتایج آنالیز حرارتی منار	رهروان (کامل)	زیارتی (کامل)	بررسیان (کامل)
وضعیت آسیب دیدگی	بدون شکست	شکست	شکست
تغییر مکان بیشینه (m)	۰,۰۶۴	۰,۰۹۷	۰,۰۸۵

نتایج آنالیز حرارتی منار	رهروان (کامل)	زیارتی (کامل)	بررسیان (کامل)
وضعیت آسیب دیدگی	بدون شکست	شکست	شکست
تغییر مکان بیشینه (m)	۰,۰۵۹	۰,۰۶۲	۰,۰۵۹

جدول ۱۴. نتایج آنالیز غیرخطی منارهای زیارتی و رهروان تحت بار باد در حالت ۴.

نتایج آنالیز غیرخطی منار	رهروان (کامل)	زیارتی (کامل)	زیارتی (پوسته)	بررسیان (کامل)
وضعیت آسیب دیدگی	بدون شکست	بدون شکست	بدون شکست	بدون شکست
تغییر مکان بیشینه (m)	۰,۰۴۹۲	۰,۰۴۸۸	۰,۰۲۱۷	۰,۰۶۴

جدول ۱۵. نتایج آنالیز حرارتی منار رهروان در حالت ۵.

نتایج آنالیز حرارتی منار	رهروان (پوسته)	رهروان (کامل)
وضعیت آسیب دیدگی	بدون شکست	بدون شکست
تغییر مکان بیشینه (m)	۰,۰۱۱	۰,۰۱۴

جدول ۱۶. نتایج آنالیز غیرخطی منار زیارتی تحت بار باد در حالت ۳.

نتایج آنالیز غیرخطی	زیارتی (کامل)	زیارتی (پوسته)
وضعیت آسیب دیدگی	بدون شکست	بدون شکست
تغییر مکان بیشینه (m)	۰,۰۹۳	۰,۰۹۲۸

جدول ۱۷. نتایج آنالیز غیرخطی منار زیارتی تحت بار باد در حالت ۲.

نتایج آنالیز غیرخطی منار	زیارتی (کامل)
وضعیت آسیب دیدگی	بدون شکست
تغییر مکان بیشینه (m)	۰,۰۶۷۷

جدول ۱۸. نتایج آنالیز غیرخطی منار زیارتی تحت بار باد در حالت ۴.

نتایج آنالیز غیرخطی	زیارتی (کامل)	زیارتی (پوسته)
وضعیت آسیب دیدگی	شکست	شکست

۷. آنالیز تحت بار باد

۱. فرضیات آنالیز باد

به منظور بررسی چگونگی تأثیر باد در رفتار سازه‌یی، منارهای رهروان و زیارتی (بلندترین منار) تحت بار باد براساس ضوابط آینه‌نامه‌ی بارگذاری ایران،^[۱۸] مورد آنالیز استاتیکی غیرخطی قرار گرفته‌اند. برای تعیین توزیع فشار باد در اطراف منارها از آینه‌نامه‌ی بارگذاری انگلستان،^[۱۹] استفاده شده است. آنالیزها در این ۴ حالت مختلف انجام شده‌اند:

۱. سرعت $h = 110 \text{ km/h}$ (سرعت مبنای باد اصفهان):

۲. سرعت $h = 130 \text{ km/h}$ (بیشینه‌ی سرعت ثبت شده باد در ایران):

۳. سرعت $h = 150 \text{ km/h}$ (برای یافتن بازه‌یی که منار در آن دچار شکست نشود):

۴. سرعت $h = 165 \text{ km/h}$ (برای یافتن بازه‌یی که منار در آن دچار شکست نشود).

نتایج حاصل از آنالیزهای عددی کلیه‌ی آنالیزهای انجام شده در جدول‌های ۱۶ الی ۱۹ ارائه شده‌اند. مشاهده می‌شود منارها تحت بار باد مقاومت خوبی از خود نشان می‌دهند و در سرعت‌های بیشینه‌ی وزش باد در ایران دچار شکست نمی‌شوند.

۸. نتیجه‌گیری

نتایج حاصل از آنالیز تاریخچه‌ی زمانی غیرخطی منارها به این شرح هستند:

- تمامی منارها در لحظات ابتدایی زلزله و قبل از رسیدن به مقدار بیشینه‌یی شتاب نگاشت دچار شکست می‌شوند. برای مثال، منار کامل رهروان تحت آنالیز توسط زلزله‌ی دریاچه‌ی کیوته، در $h = 164 \text{ km/h}$ دچار شکست شده، در حالی که بیشینه‌یی شتاب زلزله در حدود زمان $t = 3 \text{ s}$ اتفاق افتاده است.
- ترک‌ها در حالت فقط پوسته، عمدتاً در محدوده‌ی 10% ارتفاع منار از قسمت پایین و در مواردی تا 50% ارتفاع منار از قسمت پایین پراکنده شده‌اند. ولی در حالت منار کامل، این محدوده عمدتاً شامل 10% و در مواردی 30% ارتفاع منار از قسمت پایین می‌شود. دلیل این امر ایجاد تمرکز تنش در پلکان مارپیچ و محل‌های اتصال آن به ستون مرکزی و پوسته است.
- در مواردی شکست پوسته‌ی منار نسبت به منار کامل در زمان دیرتری اتفاق

است. برای مثال، منارهای کامل در حالتی که دمای داخل 21°C و دمای بیرون $13,5^{\circ}\text{C}$ - بوده است، دچار شکست شده‌اند؛ ولی در حالتی که دمای داخل 21°C و دمای بیرون 10°C بوده است، منار دچار آسیب شده است، اما دچار شکست نشده است. علت این امر غلبه‌ی تنش‌های کششی به تنش‌های فشاری در حالت سردشدن یکنواخت است، چرا که مصالح به کاررفته در برابر تنش‌های کششی، ضعف زیادی نسبت به حالت فشاری دارند.

۲. هر چه ضخامت پوسته بیشتر باشد، منار در اثر اختلاف دما در فصول مختلف سال، آسیب کمتری می‌بیند. به طور مثال جابجایی صورت‌گرفته در منار برسیان (به صورت کامل) با داشتن بیشترین ضخامت در بین ۹ منار، از همه‌ی موارد بسیار کمتر بوده است.

۳. آسیب‌های واردشده بر منارها در حالت گرم‌کردن و سردکردن یکنواخت، نسبتاً کمتر از حالات اعمال اختلاف دمای داخل و بیرون بوده است. برای مثال آسیب‌های واردشده به منار در حالتی که کل منار به دمای 10°C رسیده است، نسبت به حالت دمای داخل 21°C و دمای بیرون 10°C بیشتر بوده است.

۴. پوسته‌ی منار به تنهایی مقاومت بیشتری در برابر اختلاف دمای بیرون و داخل و گرم و سرد شدن یکنواخت منار دارد و آسیب‌های واردآمده به آن کمتر از منار کامل است. به این دلیل که در منار کامل تجمع ترک‌های ایجادشده در منار، بیشتر در قسمت اتصال راپله به ستون مرکزی و پوسته است و به دلیل ضعف این قسمت‌ها، شکست در منار کامل زودتر از پوسته‌ی منار به تنهایی اتفاق می‌افتد.

این نتایج نیز از آنالیز منارها تحت بار حرارتی بدست آمده‌اند:

۱. منارها می‌توانند در دو حالت کامل و فقط پوسته بار باد با سرعت 15° km/h (حدود $1,4$ برابر باد مبنای اصفهان) را تحمل کنند و دچار شکست در نشوند.

۲. پوسته به تنهایی می‌تواند جابجایی بیشتری را تحمل کند. برای مثال، جابجایی منار زیار در حالت فقط پوسته تحت بار باد با سرعت‌های 11° km/h و 15° km/h ، به ترتیب 83% و 65% بیشتر از حالت منار به صورت کامل بوده است.

افتاده است. دلیل این امر ضعف محل اتصال پلکان مارپیچ به پوسته و ستون مرکزی است.

۴. هر چه نسبت ارتفاع به قاعده‌ی منارها کمتر باشد، شکست دیرتر اتفاق می‌افتد. به طور مثال، منار گار که کمترین نسبت ارتفاع به قاعده (۳,۸۲) را در بین منارها دارد، دیرتر از بقیه‌ی منارها دچار شکست شده است.

۵. با کاهش ارتفاع منار، زمان شکست به تأخیر می‌افتد. به عنوان مثال، با کاهش حدود $33,33\%$ ارتفاع منار رهروان، 29% به طول زمان شکست آن اضافه شده است.

۶. افزایش مقاومت‌های فشاری و کششی مصالح حتی تا 50 برابر (که البته در عمل ممکن نیست) نمی‌تواند باعث جلوگیری از شکست منارها در مقابل زلزله شود. فقط با افزایش 100 برابر این مقادیر است که شکست رخ نمی‌دهد. البته با افزایش مقاومت مصالح، زمان شکست تا حدی به تأخیر می‌افتد.

۷. با تغییر معیار شکست ویلام - وارنک به دراکر - پراگر، منارها همچنان در همان مراحل ابتدایی شتاب‌نگاشت دچار شکست شده‌اند. جابجایی‌های مرحله‌ی شکست در معیار شکست دراکر - پراگر در همه‌ی منارهای تحت بررسی نسبت به معیار شکست ویلام - وارنک کاهش یافته است. به عنوان مثال، جابجایی در مرحله‌ی شکست برای منار رهروان با استفاده از معیار شکست دراکر - پراگر $91,54\%$ نسبت به معیار شکست ویلام - وارنک کاهش داشته است.

۸. با تغییر میزان میرابی از 5% به 20% نسبت به 20% منارها در همان مراحل قبلی دچار شکست شده‌اند، ولی مقدار جابجایی نهایی آن‌ها کمتر شده است. به عنوان مثال، در منار رهروان (فقط پوسته خارجی) تحت زلزله‌ی ویتر نیوز، جابجایی در حالت میرابی 5% و در حالت میرابی 20% و در حالت 52 m ($0,052\text{ m}$) (حدود 8 برابر حالت قبل) بوده است، ولی در هر دو حالت زمان شکست در لحظه‌ی $1,068$ بوده است.

از آنالیز منارها تحت بار حرارتی، این نتایج بدست آمده است:

۱. هر چه اختلاف دما بیشتر باشد، آسیب واردشده به سازه نیز بیشتر است. همچنین آسیب واردشده به منار در حالت سردشدن نسبت به حالت گرم‌شدن بیشتر

منابع (References)

- Moayedian, S.M. "Structural analysis of persian historical brick masonry minarets", M.Sc Thesis, University of Isfahan, Isfahan (2013).
- Hejazi, M., *Historical Buildings of Iran: Their Architecture and Structure*, Computational Mechanics Publications (WIT Press), Southampton and Boston (1997).
- Basic Analysis Guide for ANSYS 14*, SAS IP Inc., New York (2011).
- Hejazi, M. and Mehdizadeh Saradj, F., *Persian Architectural Heritage: Structure*, WIT Press, Southampton and Boston (2013).
- Binda, L., Fontana, A. and Frigerio, G. "Mechanical behaviour of brick masonries derived from unit and mortar characteristics", 8th Int. Brick and Block Masonry Conf., Elsevier Applied Science, London, pp. 205-216 (1988).
- Korany, Y. "Mechanics and modeling of URM structures", *Proceedings of Int. Short Course on Architectural and Structural Design of Masonry*, Dresden University of Technology, Dresden (2003).
- Betti , M., Orlando, M. and Vignoli, A. "Static behaviour of an Italian medieval castle: damage assessment by numerical modelling", *Computers and Structures*, **89**(21-22), pp. 1956-1970 (2011).
- Pineda, P., Robador, M. and Gil-Martí, M. "Seismic damage propagation prediction in ancient masonry

- structures: An application in the non-linear range via numerical models”, *The Open Construction and Building Technology Journal*, **5**, pp. 71-79 (2011).
- 9. *Iranian Code of Practice for Seismic Resistant Design of Buildings*, Standard No. 2800, Building and Housing Research Centre Tehran (1988) (in Persian).
 - 10. Khodadadi, A. “Seismic hazard analysis and hazard spectrum for Isfahan”, M.Sc Thesis, Science and Research Branch Islamic Azad University, Isfahan (2009) (in Persian).
 - 11. Silva, W. “Strong motion database”, California, <http://peer.berkeley.edu/smcat/index.html> (2012).
 - 12. EU-India Economic Cross Cultural Programme, *Benchmarking on the Seismic Behaviour of the Qutb Minar*, Rome (2006).
 - 13. EU-India Economic Cross Cultural Programme, *Guidelines for the Conservation of Historical Masonry Structures in Seismic Areas*, Rome (2006).
 - 14. *Eurocode 8. Design of Structures for Earthquake Resistance - Part 3: Assessment and Retrofitting of Buildings*, European Committee for Standardisation, Brussels (2005).
 - 15. FEMA-356, *Prestandard and Commentary for the Seismic Rehabilitation of Buildings*, Federal Emergency Management Agency, Washington, D.C. (2001).
 - 16. National Weather Service, *Historical Tornadoes*, Toronto (2003).
 - 17. Moghimian, M., *Air Conditioning and Central Heating Engineering*, Ferdowsi University Press, Mashhad (2003).
 - 18. *Iranian National Building Regulations, Loads*, Ministry of Housing and Urbanism, Tehran (2009) (in Persian).
 - 19. British Standard Institute-BS 6399-2, *Loading for Buildings – Part 2: Code of Practice for Wind Loads*, London (1997).

Archive of SID